

+-.: Q C O Y C lmno C O C O pqrs O O O O tuvw O O O O
xyz; O O O C O hijk O C O O lmnno O O O O pqrss O O O O
tuvw O O O C O defg O O O C hijk O O O O hijk O O O O
pqrs O O O C O !abc O O O C +-.: O O O O hijk O O O O
lmno O O O C O xyz; O O O C tuvw O O O C +-.: O O O O
hijk C O O C O tuvw O O O C defg O O O C tabe O O O O
defg O O O C O pqrs O O O C xyz; O O O C defg O O O O
!abc O O O C O 6 N C_eM_eY_eZ 4 N C_eM_eY_eZ
10 N C_eM_eY_eZ N C_eM_eY_eZ N C_eM_eY_eZ

+-.:	Q	C	O	Y	C	lmno	C	O	C	O	pqrs	O	O	O	O	uvwxyz	O	O	O
xyz;	O	O	O	C	O	hijk	O	C	O	O	lmnno	O	O	O	O	defg	O	O	O
tuvw	O	O	O	C	O	defg	O	O	O	O	hijk	O	O	O	O	!abc	O	O	O
pqrs	O	O	O	C	O	!abc	O	O	O	O	+-.:	O	O	O	O	xyz;	O	O	O
lmno	O	O	O	C	O	+-.:	O	O	O	O	uvwxyz	O	O	O	O	tuvw	O	O	O
hijk	C	O	O	C	O	xyz;	O	O	O	O	defg	O	O	O	O	defg	O	O	O
defg	O	O	O	C	O	tuvw	O	O	O	O	!abc	O	O	O	O	!abc	O	O	O
!abc	O	O	O	C	O	pqrs	O	O	O	O	6	N	C _e M _e Y _e Z	N	C _e M _e Y _e Z	N	C _e M _e Y _e Z		
10	N	C _e M _e Y _e Z				8	N	C _e M _e Y _e Z											

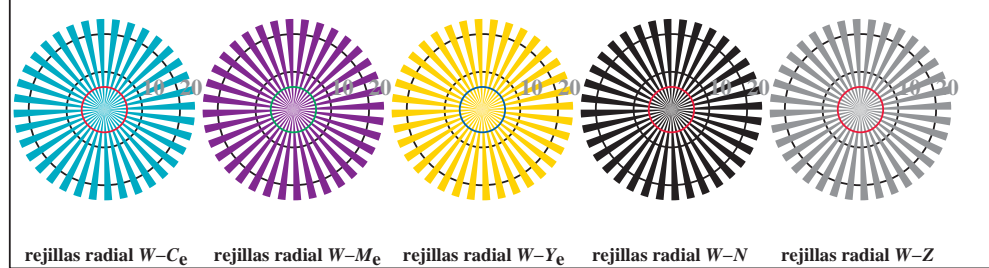
TS951-3, Fig. B5We: codigo y Landolt anillos; $N; C_e; M_e; Y_e; Z$; PS operator $rgb \rightarrow rgb_e$ setrgbcolor

	0-1		0-1
7-8	O	O	O
E-F	O	O	O
2-0	O	O	O
8-6	O	O	O
F-D	O	O	O
anillos de Landolt $W-C_e$		Code	anillos de Landolt $W-M_e$
			Code

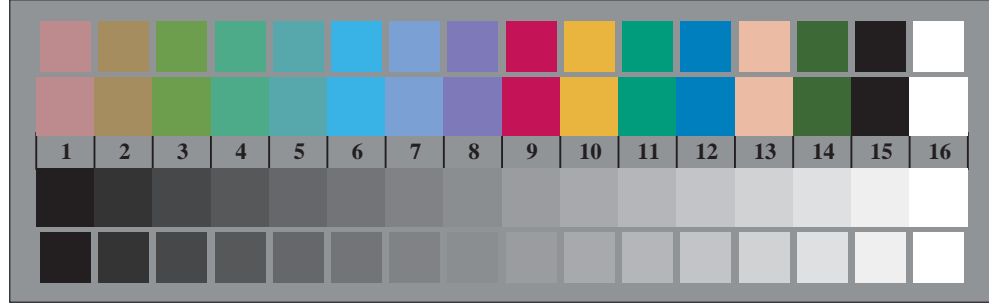
TS951-5, Fig. B6We: anillos de Landolt $W-C_e; W-M_e$; PS operator $rgb \rightarrow rgb_e$ setrgbcolor

	0-1		0-1
7-8	O	O	O
E-F	O	O	O
2-0	O	O	O
8-6	O	O	O
F-D	O	O	O
anillos de Landolt $W-Y_e$		Code	anillos de Landolt $W-N$
			Code

TS951-7, Fig. B7We: anillos de Landolt $W-Y_e; W-N$; PS operator $rgb \rightarrow rgb_e$ setrgbcolor



TS950-5, Fig. B2We: rejillas radial $W-C_e; W-M_e; W-Y_e; W-N$; PS operator $rgb \rightarrow rgb_e$ setrgbcolor



TS950-7, Fig. B3We: CIE 14 colores del test y 2 + 16 pasos de gris (sf); $rgb/cmy0 \rightarrow rgb_e$ setrgbcolor